

# Çevrimiçi Eğitimde/Sınavda Kullanılacak Yüz Tanıma Sistemi

- Yüz tespit ve tanıma işlemlerinin hızlı olması gerekmektedir.
- Az sayıda yüz görseli ile tanıma yapabilmesi lazım.

# Yüz Tespiti

- Viola-Jones benzeri bir gerçekleştirme yapıldı.
- Haar-Benzeri özellikler kullanıldı.
- Özellikleri seçme işlemi için AdaBoost yerine Random Forest kullanıldı.
- Sci-kit learn, LFW yüz veri seti.

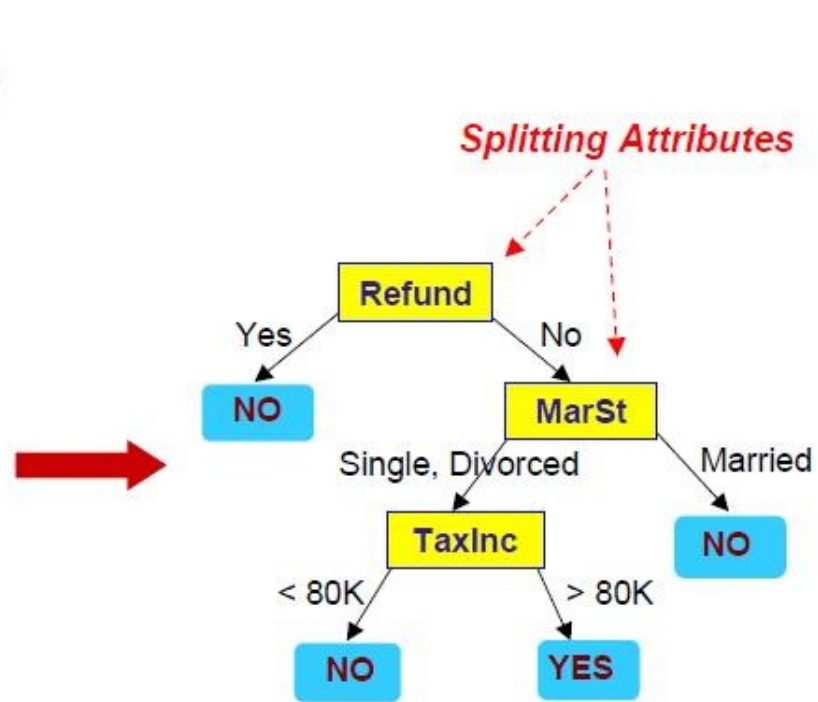
# Random Forest

- Çok sayıda karar ağacından (decision tree) oluşur.
- Her karar ağacı modelin yaptığı tahmine katkıda bulunur.
- Ağaçların tekil olarak yaptığı tahminde/hatada diğer ağaçlar olarak korelasyonun az olması beklenir.

# • Karar ağacı

<i>Tid</i>	<i>Refund</i>	<i>Marital Status</i>	<i>Taxable Income</i>	<i>Cheat</i>
1	Yes	Single	125K	No
2	No	Married	100K	No
3	No	Single	70K	No
4	Yes	Married	120K	No
5	No	Divorced	95K	Yes
6	No	Married	60K	No
7	Yes	Divorced	220K	No
8	No	Single	85K	Yes
9	No	Married	75K	No
10	No	Single	90K	Yes

Training Data



Model: Decision Tree

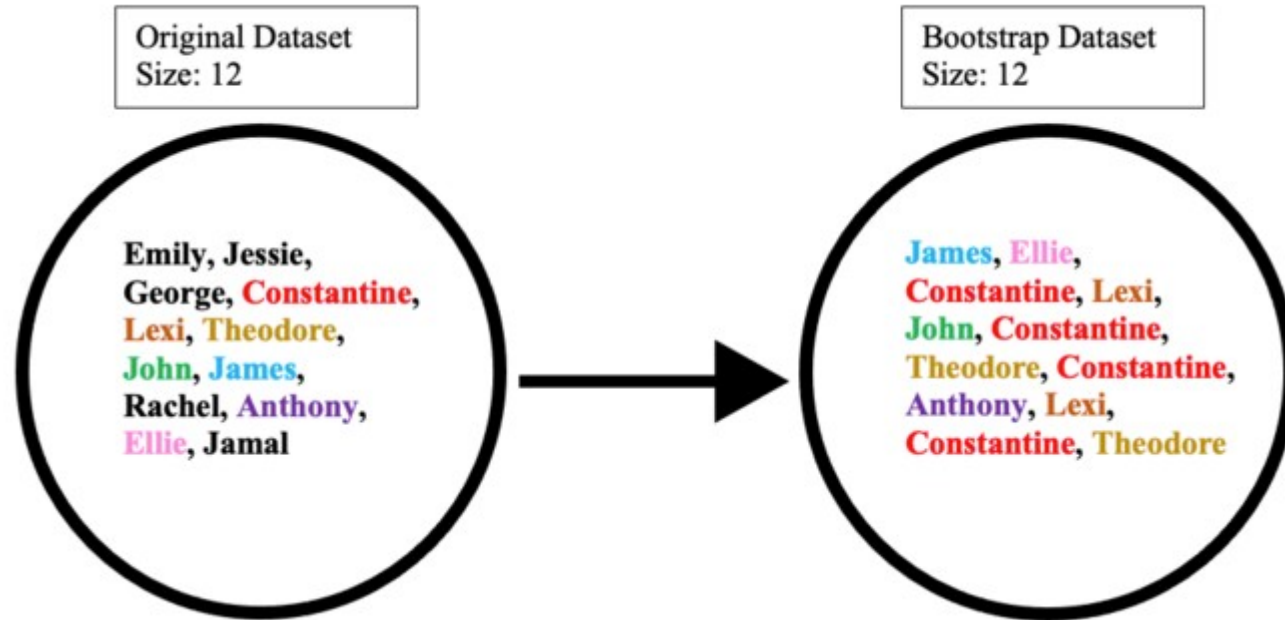
# • Karar ağacının oluşturulması

- Veri setindeki tüm özelliklerinin veri setini ne kadar iyi ayırdığı ölçülür. En iyi ayıran öznelik kök düğüm(root node) olur.
  - Gini safsızlığı, entropi ( Gini impurity )
- Dalların seçimi için ise veri setinin ilgili düğümün ifade ettiği alt küme için bir önceki adımda anlatılan işlem tekrarlanır.
- Oluşturulacak diğer tüm düğümler için bu işlem devam eder.
- Over-fitting

# Random Forest – Karar Ağacı Oluşturulması

- Bootstrap aggregating ( Bagging )
  - Verisetindeki M adet veriden N adedi rastgele şekilde seçilir
  - $M < N$
  - Tekrarlar olabilir.

- Bootstrap aggregating ( Bagging )



# Rastgele Özellik Altuzayı

- Karar ağacı oluşma aşamasında bir sonraki tüğümün seçilebileceği öz nitelikler mevcut tüm öz niteliklerden, daha önce belirlenmiş bir oranda kısıtlanır.



# Scikit – Learn Random Forest

- `sklearn.ensemble.RandomForestClassifier`
  - `n_estimators`, int, default=100 – ağaç sayısı
  - `criterion`{“gini”, “entropy”}, - öznitelik seçim kriteri
  - `max_depth`, default=None – ağacın derinliği
  - `min_samples_split` default = 2 – minimum dallanma sayısı

# Modelin Eğitilmesi

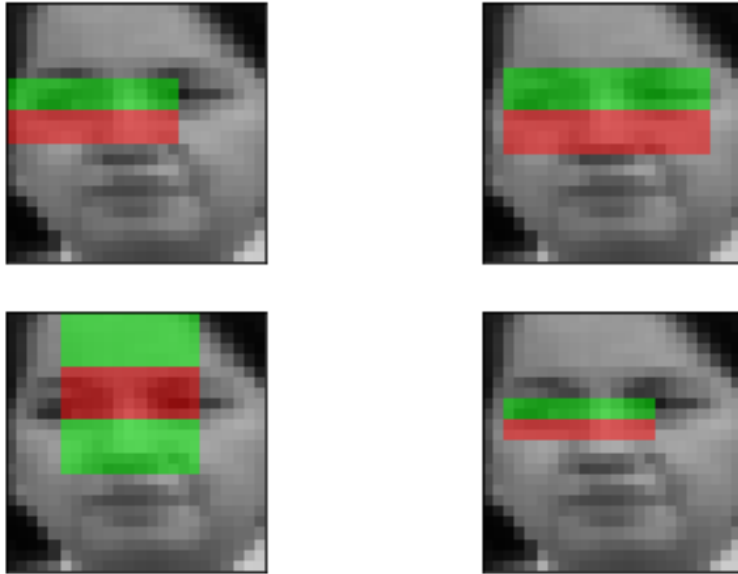
- LFW dataseti ve yüz dışı rastgele görüntülerden oluşan bir veri seti ile eğitildi.
- 6000 Negatif, 2300 Pozitif
- Görseller 24x24x1 çözünürlüğüne dönüştürüldü.
- 24x24x1 boyutundaki NxM görselde bulunabilecek tüm 161864 adet Haar-Benzeri öznitelikler tüm görseller için hesaplandı.

# Modelin Eğitilmesi

- $(N+M)*161864$  boyutlu öznitelik dizisi ve  $(N+1)*1$  sonuç dizisi ile RFC oluşturuldu.
- Eğitilen modeldeki en önemli 2289 adet öznitelik alındı.
- Sadece 2289 öznitelik ile aynı şekilde yeni bir model eğitildi.
- Eğitilen yeni model kaydedildi.
- Model test setinde %97 başarıma ulaştı.

# Önemli Haar-Benzeri Öznitelikler

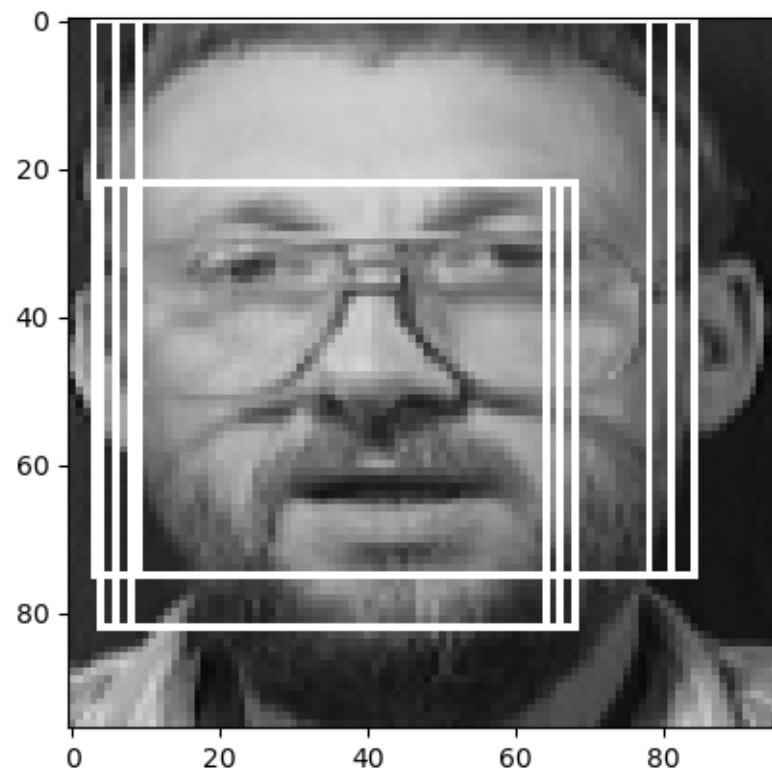
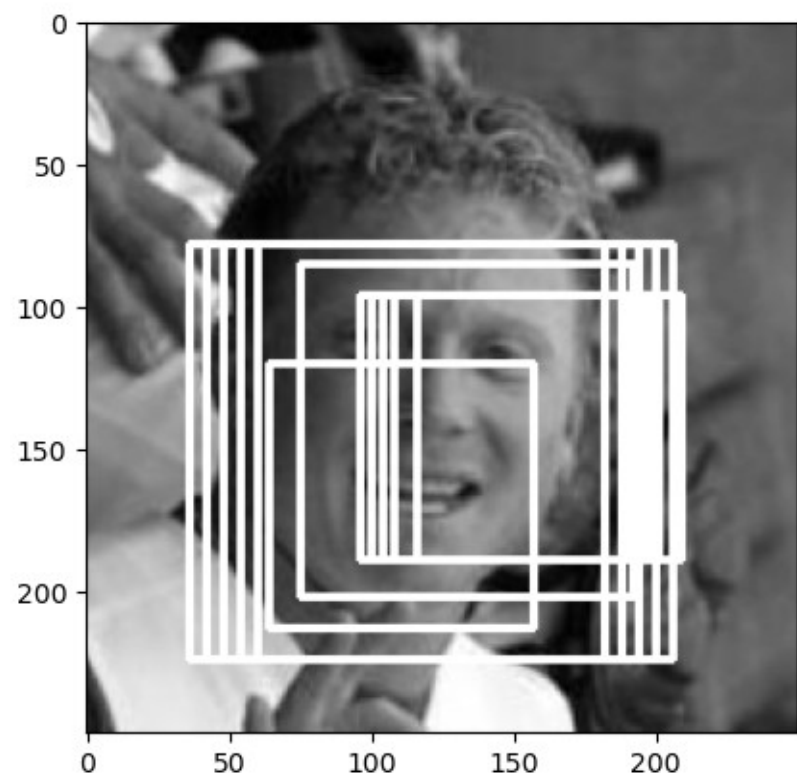
The most important features



- 800 adet negatif 800 adet pozitif görsel ile eğitilmiş rastgele sınıflandırıcısındaki ağaçlarda en çok kullanılmış 4 öznitelik.

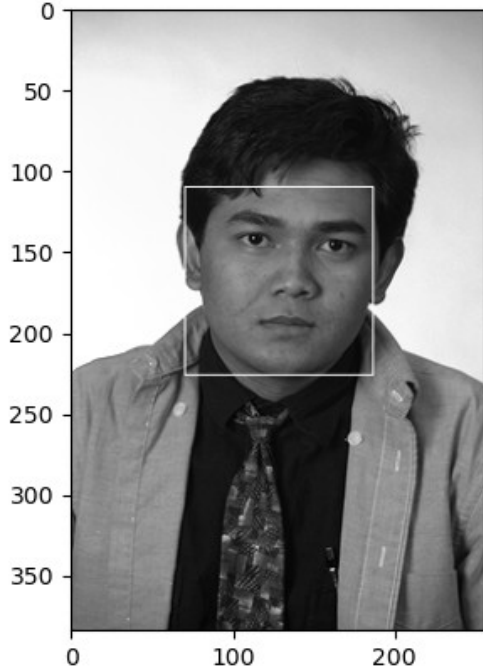
# Oluşturulan Modelin Uygulanması

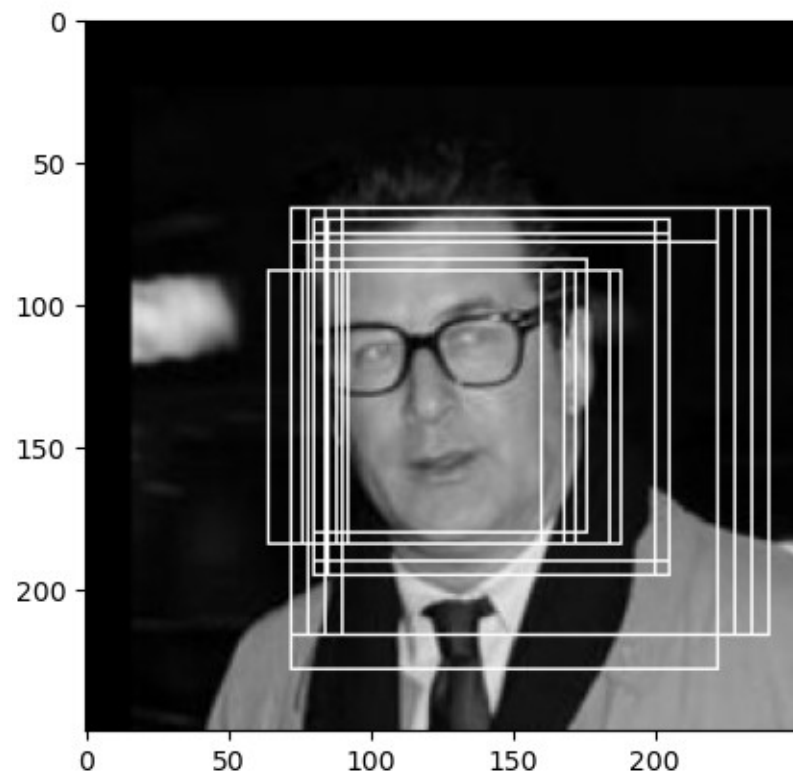
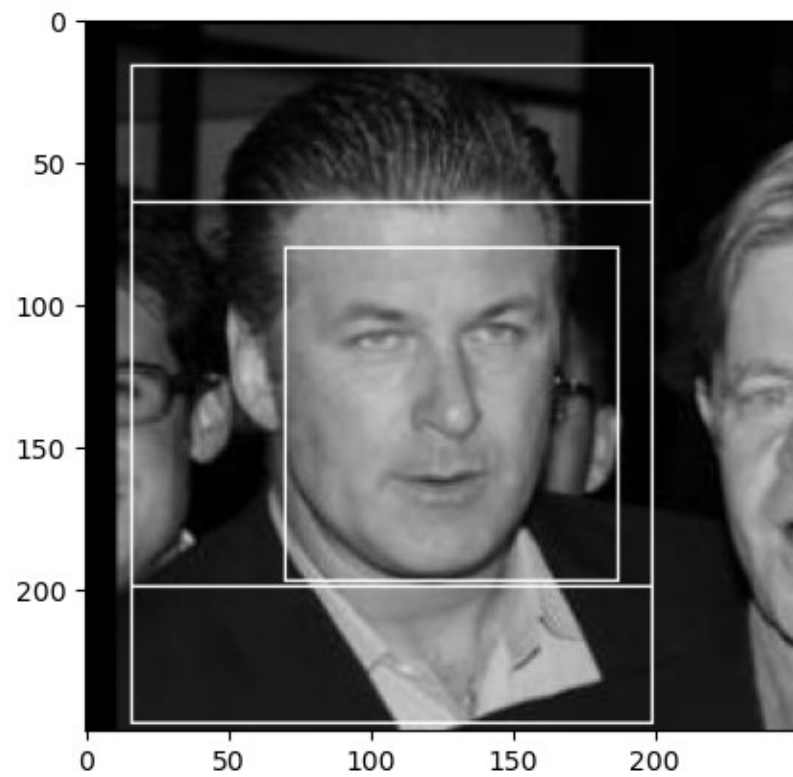
- 24x24x1 Boyutundaki görseller için eğitildi.
- Haar-Benzeri öznitelikler ölçeklenebilir.
- Herhangi bir görselin tüm noktalarına farklı ölçeklerde uygulanarak, uygulandığı pencerenin içerisinde yüz varlığı test edilebilir.
- Makalede önerilen ölçek faktörü 1.25 ve penceresinin hareket miktarı ise 1 pikseldir.



# Sonuçların Filtrelenmesi

- Yüzün bulunduğu her çerçeveye yakın çerçeveler arasında en kuvvetlisi seçildi.





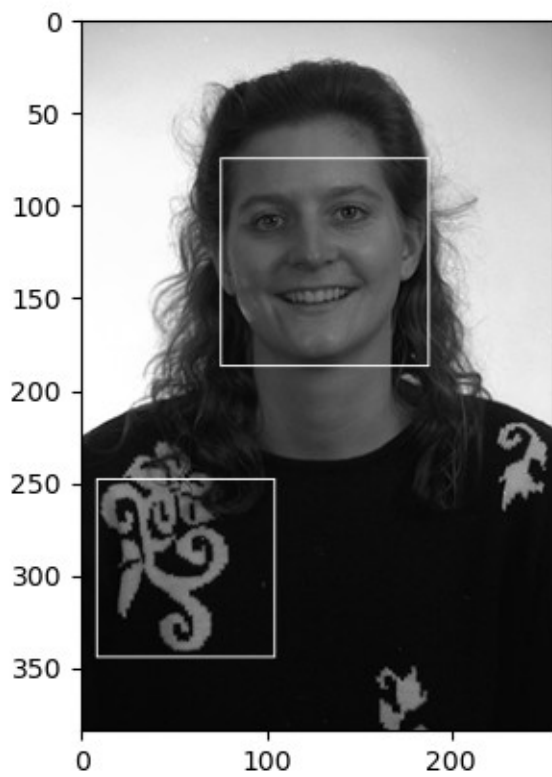


# Uygulamada ortaya çıkan sorunlar ve olası çözümler

- Yavaş.
  - Özniteliklerin hesaplanması çok vakit almakta
    - Düşük boyutlu ölçekler yüz tanıma elverişsiz. Dolayısıyla hesaplanmayabilir.
    - 24x24 – 96x96
    - Memoization, farklı ölçeklerde ve konumlarda aynı Haar öznitelikleri hesaplanmakta.
    - Kaskat oluşturulabilir.
    - Haar kaskatının hesaplanması tek thread ile CPU'da çalışmakta. Kolaylıkla çok thread ile çalışacak hale getirilebilir.
    - ...

# Uygulamada ortaya çıkan sorunlar ve olası çözümler

- Hatalı pozitif sonuçlar üretebiliyor.
  - Daha fazla negatif görsel ile eğitilebilir.
- Çerçeve kare olduğu için dar görsellerde hatalı sonuçlar elde edilebilmekte.
  - Görsel kare hale getirilebilir.

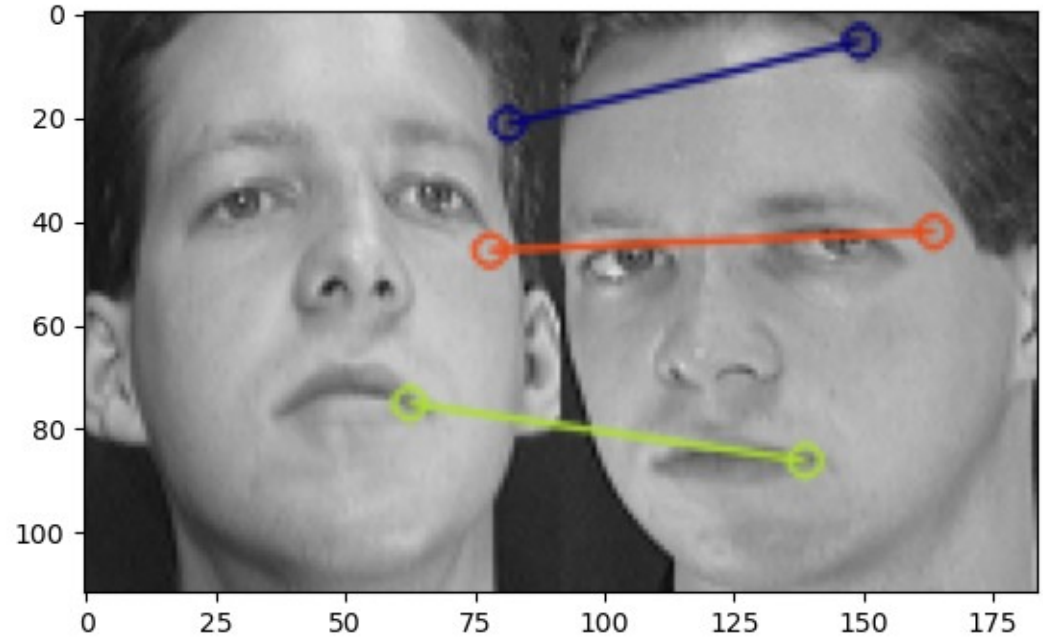
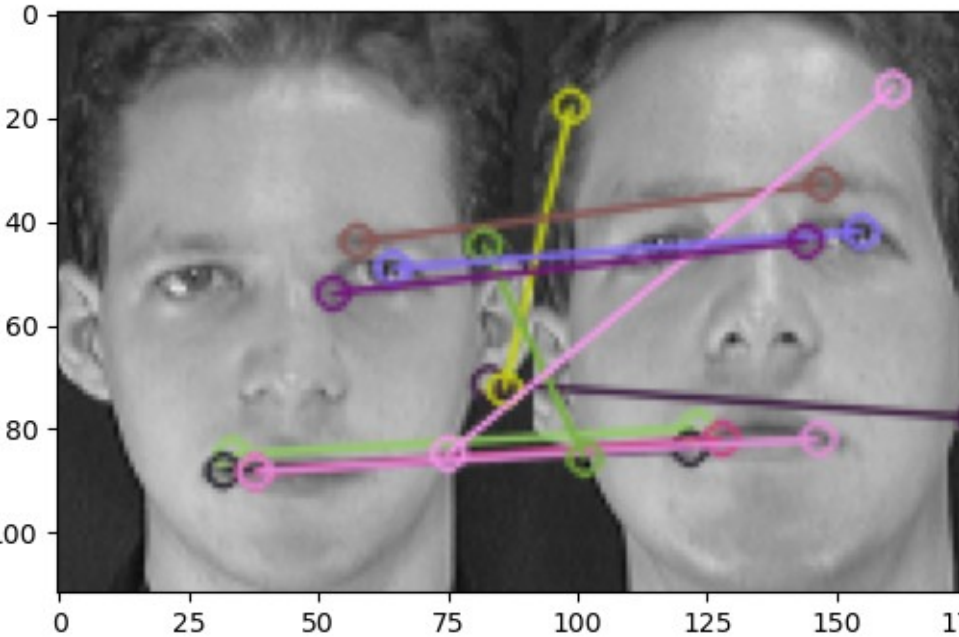


# Yüz Tanıma

- SIFT ile iyi sonuçlar alınamadı.
- Siyam ağları ve VGG16 kullanılarak gerçekleştirildi.
- LFW, CASIA WebFace, Color FERET veritabanı

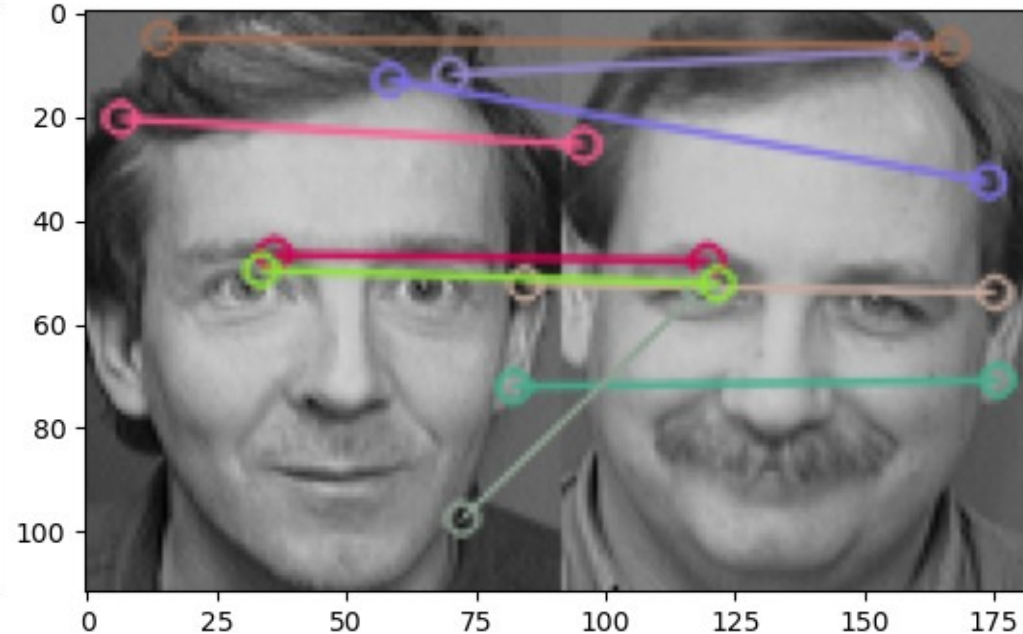
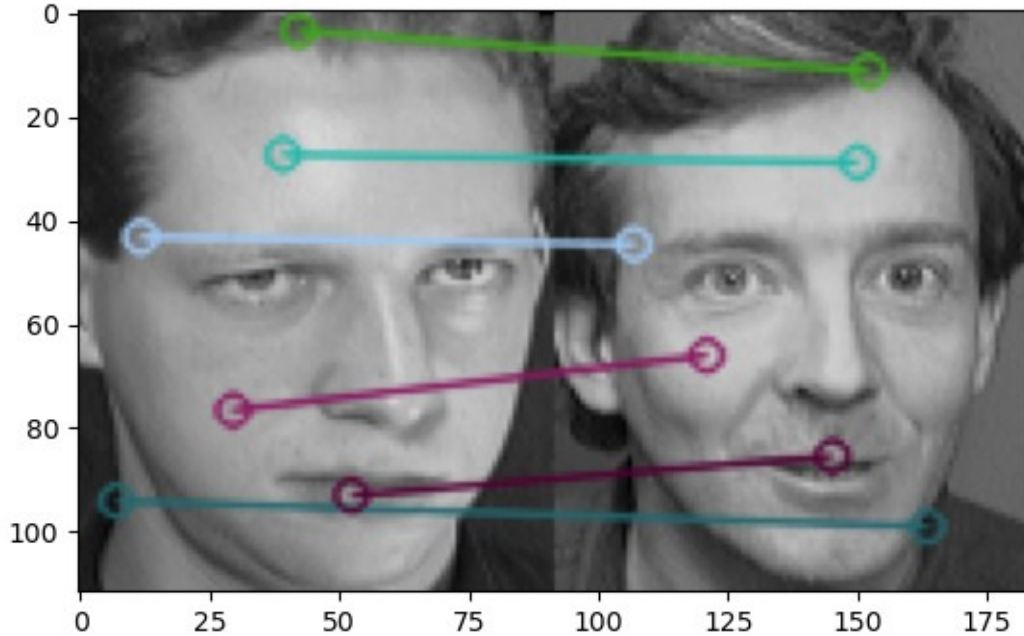
# Neden SIFT Değil

- Pozdan, mimiklerden çok ciddi etkilenmekte



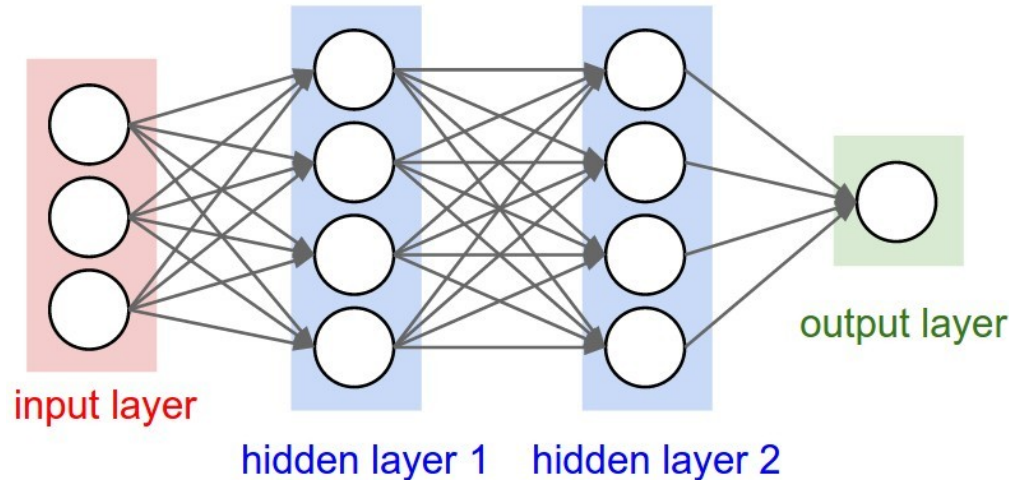
# Neden SIFT Değil

- Benzer bölgelerde çıkan yerel özellikler hatalı sonuç üretebilmekte.
- Ancak oldukça kısıtlanmış açı, poz ve ölçekte elde edilmiş görüntüler ile iyi sonuçlar elde edilebilir.



# Sıradan Sinir Ağları

- Girişi olan bir vektörü aradaki gizli katmanlardan geçirerek çıkış olan vektörü elde eder.
- Giriş ve çıkış dahil her katman nöronlardan oluşmuştur.
- Her katmandaki nöron birbirinden bağımsızdır ve bir önceki ve bir sonraki katmandaki tüm nöronlara bağlıdır.



# Sıradan Sinir Ağları

- Görseller ile kullanmak için pek uygun değildir.
- Örnek olarak  $244 \times 244 \times 3$  boyutunda bir görsel için giriş katmanında 178608 nöron bir sonraki gizli katmandaki tam bağlı her bir nöron için ise 178608 ağırlığa ihtiyaç vardır.
- 100 Nörondan oluşan sadece tek bir katmanda optimize edilmesi gereken 178608000 parametre var.
- Bu çok fazla sayıdaki parametre over-fitting'e dolayısıyla daha fazla kaliteli eğitim verisine ihtiyaca sebep olabilir.

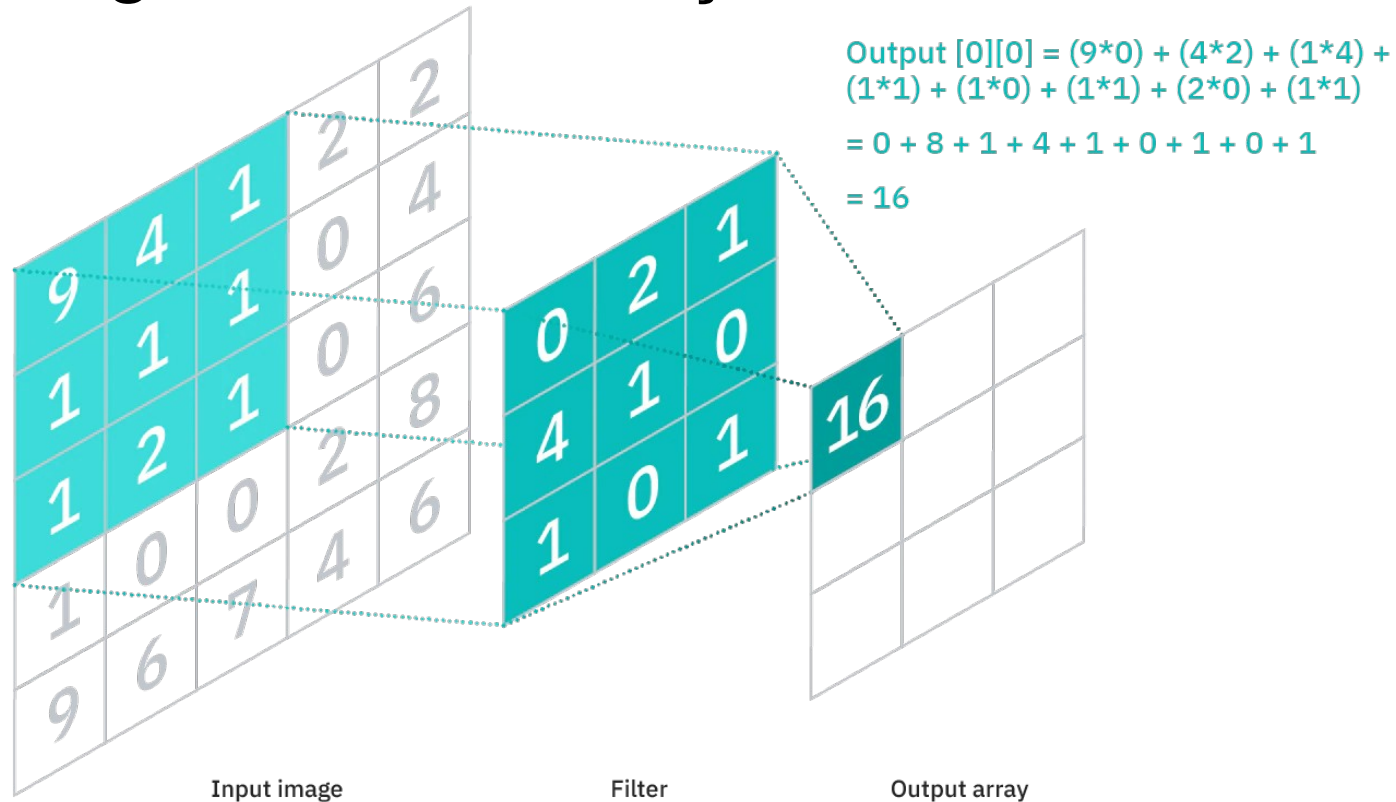


# Konvolüsyonel Sinir Ağları

- CONV
- FC
- RELU
- POOL

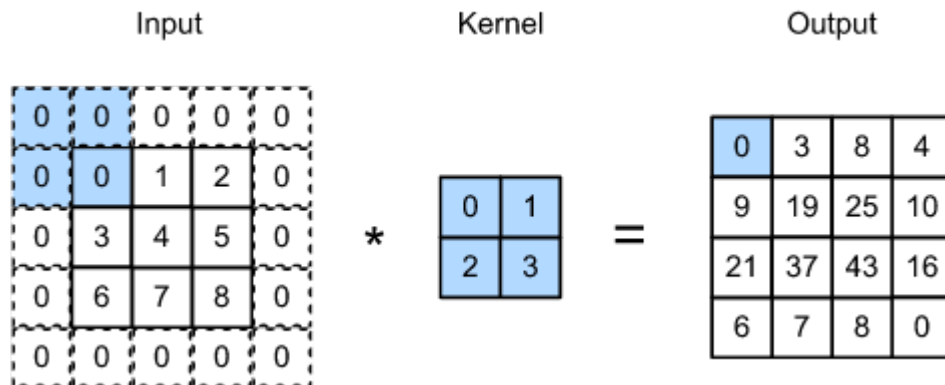
# Konvolüsyon Katmanı

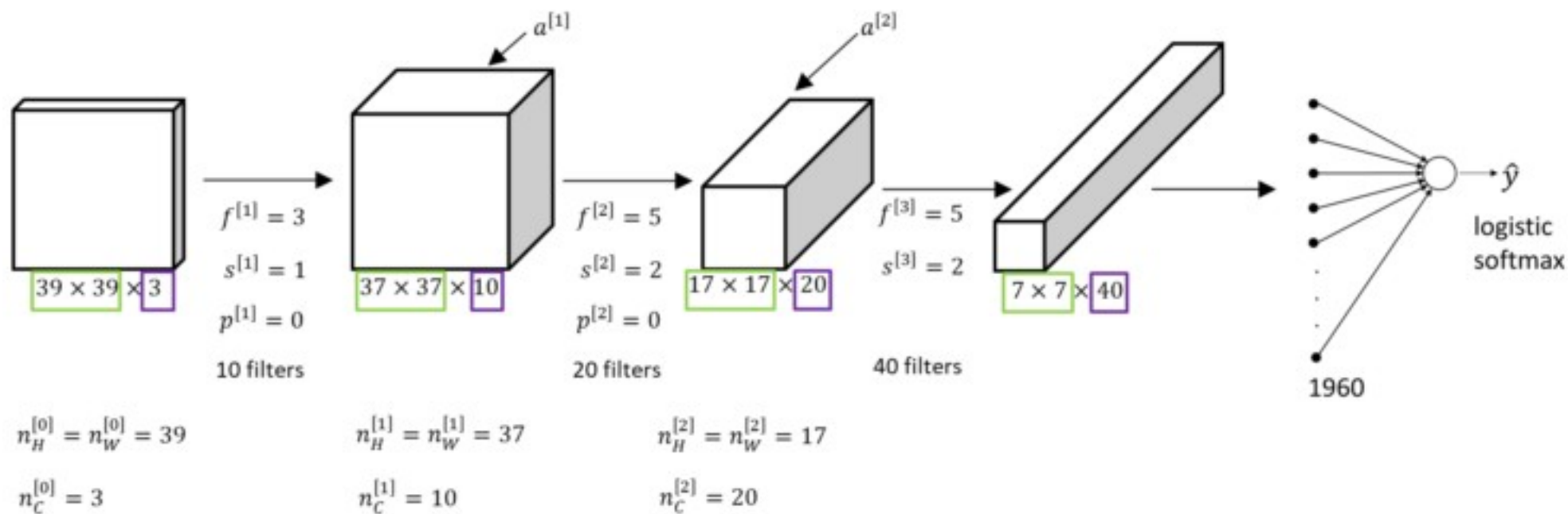
- Bir dizi öğrenebilir filtre içerir.



# Padding, Stride

- $(N - f + 2p)/s + 1$
- Padding
  - Shrinking
  - Edges not covered by may passes





# Pooling

- Öğrenme yok.
- $f$  - filtre büyüklüğü
- $s$  – stride
- $f:2 \times 2$   $s:2$
- $(n-f)/s + 1$

2	2	7	3
9	4	6	1
8	5	2	4
3	1	2	6

Max Pool  
→  
Filter - (2 x 2)  
Stride - (2, 2)

9	7
8	6

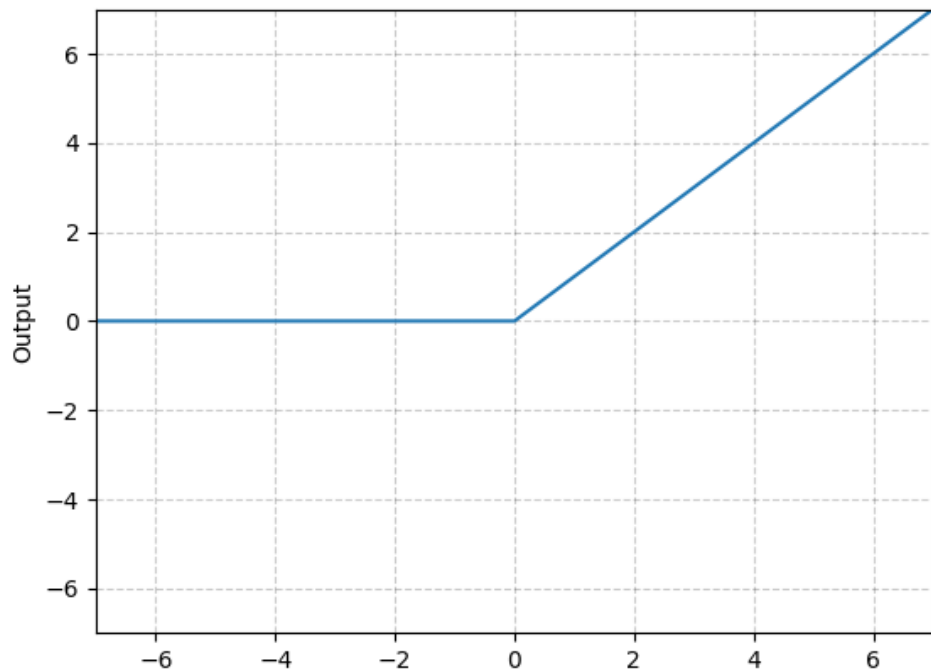
12	20	30	0
8	12	2	0
35	70	37	6
99	80	25	12

2 x 2 Avg-Pool  
→

13	8
71	20

# ReLU

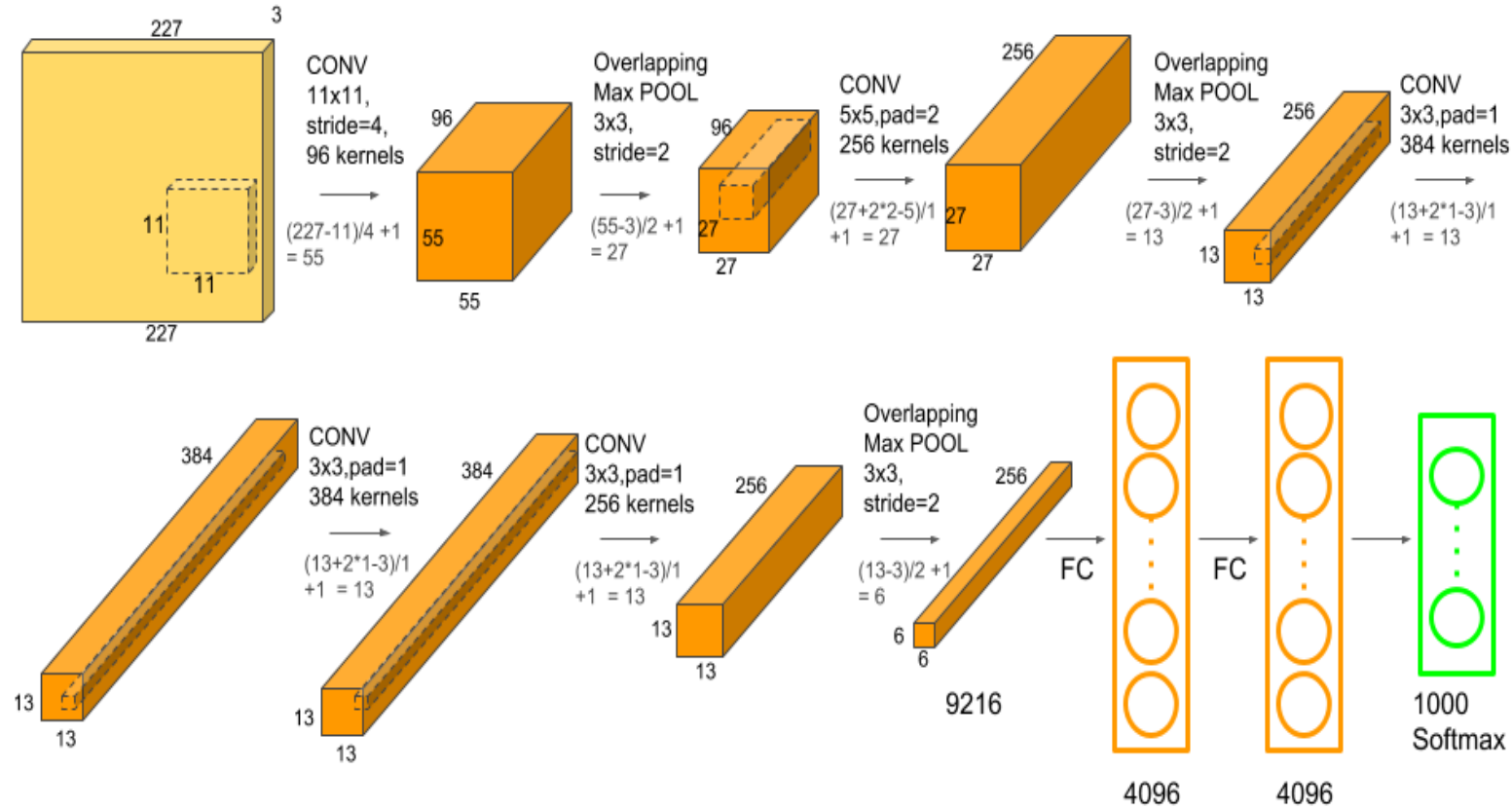
ReLU activation function



- Rectified Linear Unit Function
- Conv + ReLU + Polling

$$\text{ReLU}(x) = (x)^+ = \max(0, x)$$

# Fully Connected (FC)

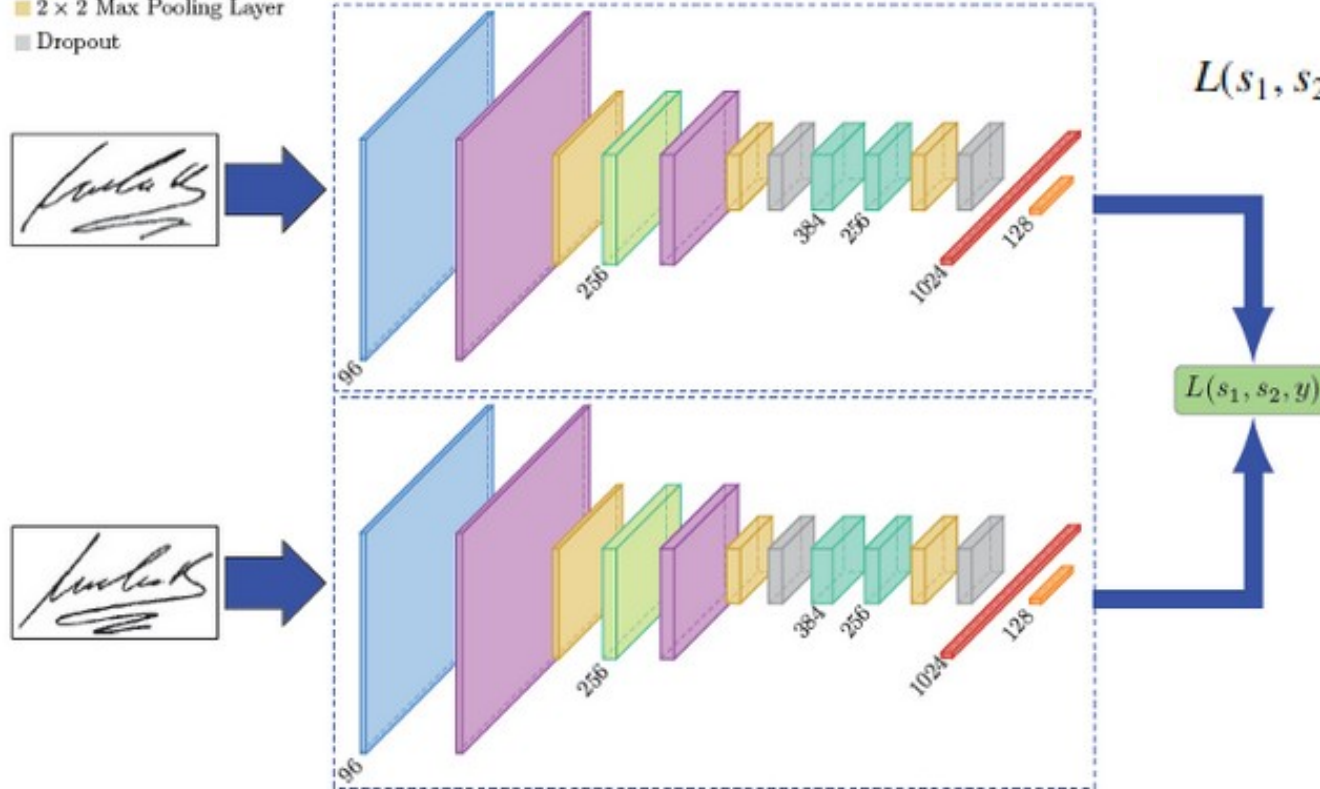


# Siamese Networks

- İki yada daha fazla ağı alt ağ olarak içerir.
- Ağ üzerindeki tüm ağırlıklar paylaşılır.
- İsimlendirilmiş görüntüler arasındaki benzerliği öğrenilir.



- 11 × 11 Convolutional Layer + ReLU
- 5 × 5 Convolutional Layer + ReLU
- 2 × 2 Max Pooling Layer
- Dropout
- 3 × 3 Convolutional Layer + ReLU
- F.C. Layer + ReLU + Dropout
- Fully Connected Layer + ReLU
- Local Response Normalisation

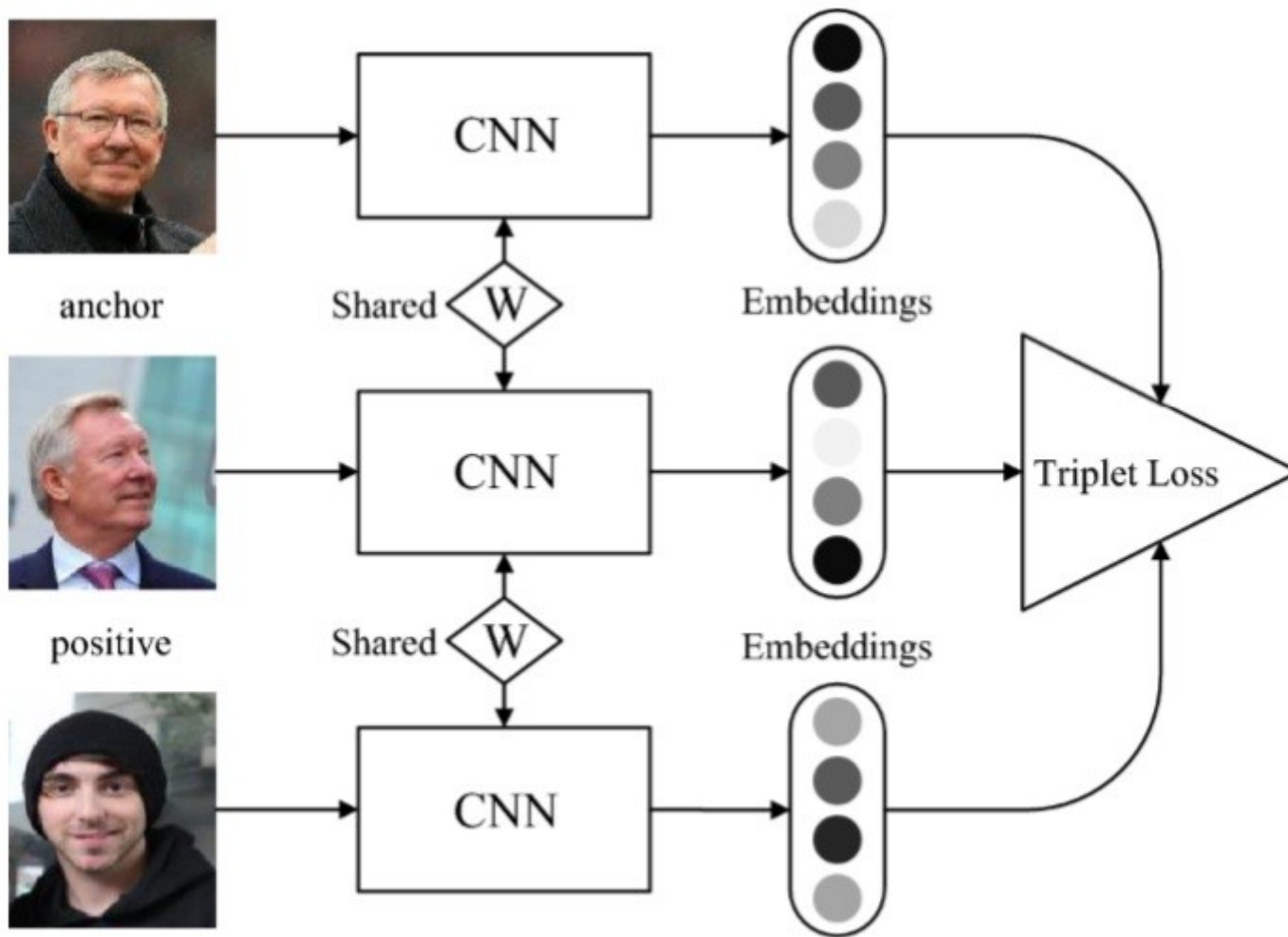


$$L(s_1, s_2, y) = \alpha(1 - y)D_w^2 + \beta y \max(0, m - D_w)^2$$

Y = 0 aynı  
Y = 1 farklı  
Dw öklid uzaklığı  
M margin

Y=0 yaklaşma  
Y=1 uzaklaşma

Siamese network used in Signet



# Üçlü Görüntüler



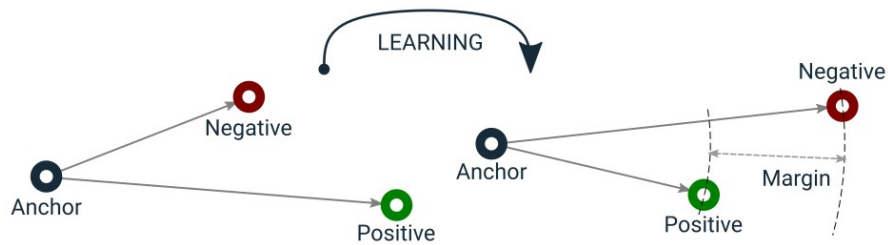
Anchor

Positive

Negative

# Triplet Loss Function

$$L(a, p, n) = \max\{d(a_i, p_i) - d(a_i, n_i) + \text{margin}, 0\}$$



$$d(x_i, y_i) = \|\mathbf{x}_i - \mathbf{y}_i\|_p$$

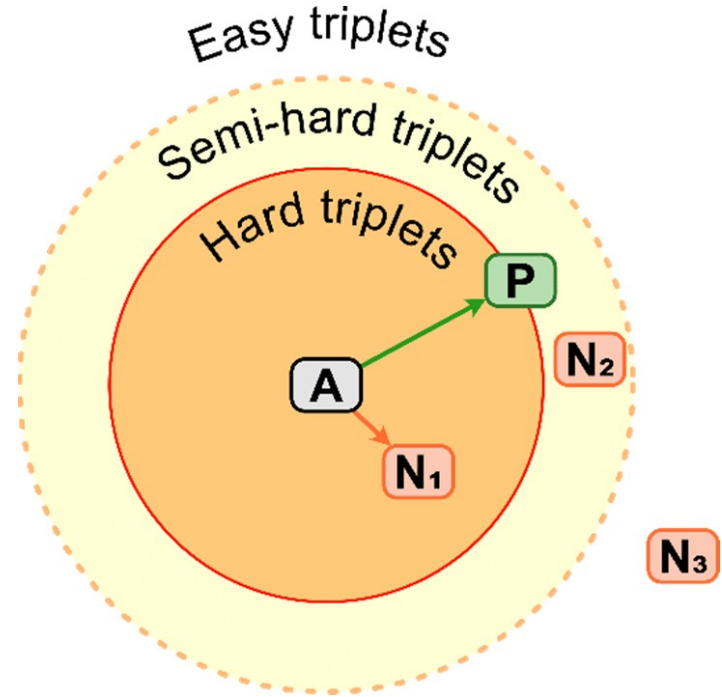
- A- anchor N-negatif P-pozitif.
- Margin



# Triplet'lerin Seçimi A,P,N



Anchor ve negatif görsel mümkün olduğunca yakın, anchor ve pozitif görsel birbirine uzak olmalıdır.



# Transfer Öğrenme

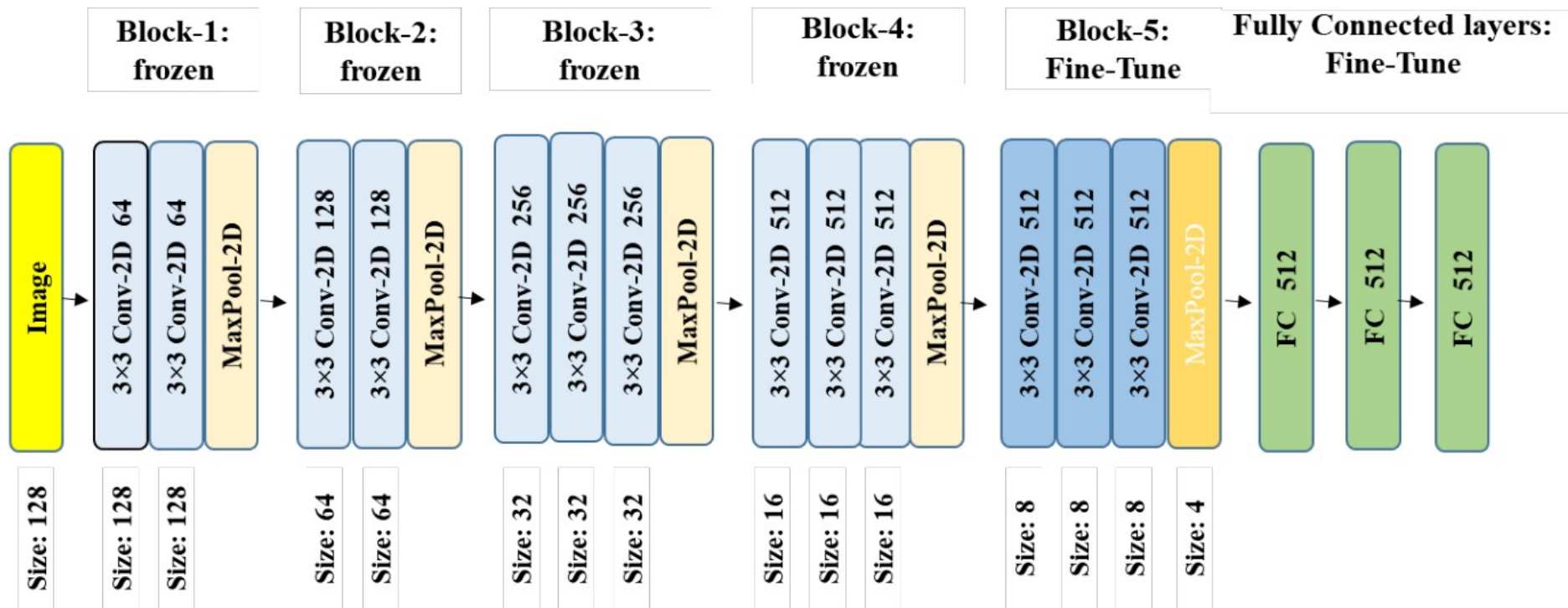
- Bir problemi çözerken öğrenilmiş bilgiyi başka benzer bir problemin çözümünde bir kısmını yada tamamını kullanmaktır.
- Araba görsellerini tanımak için eğitilmiş bir ağın bir kısmı yada tamamı kamyon görsellerini tanımak için kullanılabilir.

# CNN için Transfer Öğrenme

- Önceden eğitilmiş modelin ağırlıkları yüklenir.
- İlk katmanların ağırlıkları dondurulur.
- Yeni katmanlar eklenir.
- Yeni katmanlar eklenerek oluşturulmuş ağ eğitilir.
- Sonuca göre hiper-parametrelere ince ayar yapılabilir, yeni katmanlar eklenebilir.

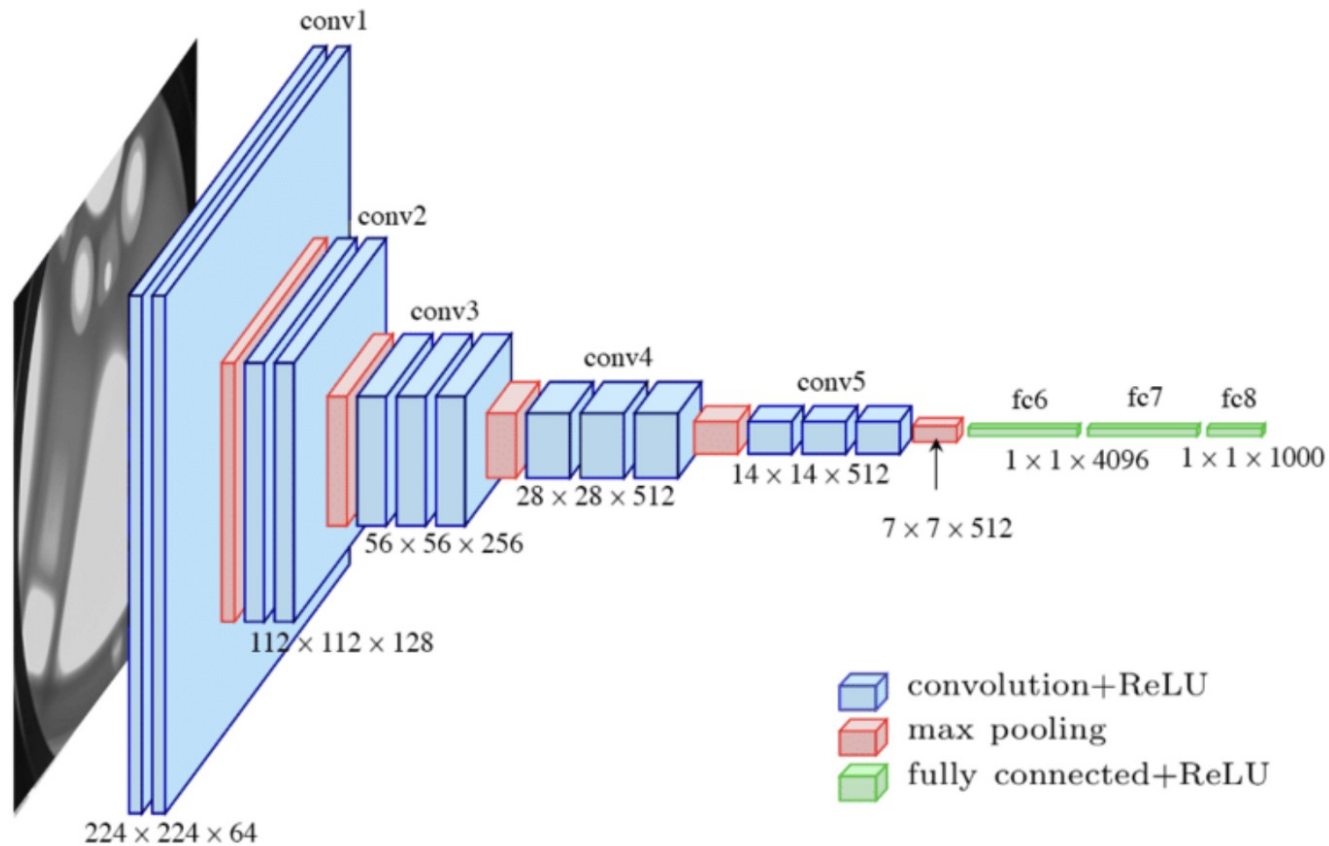


# Kullanılan Ağ



- M. Heidari and K. Fouladi-Ghaleh, "Using Siamese Networks with Transfer Learning for Face Recognition on Small-Samples Datasets," 2020 International Conference on Machine Vision and Image Processing (MVIP), 2020, pp. 1-4, doi: 10.1109/MVIP49855.2020.9116915.

# VGG-16

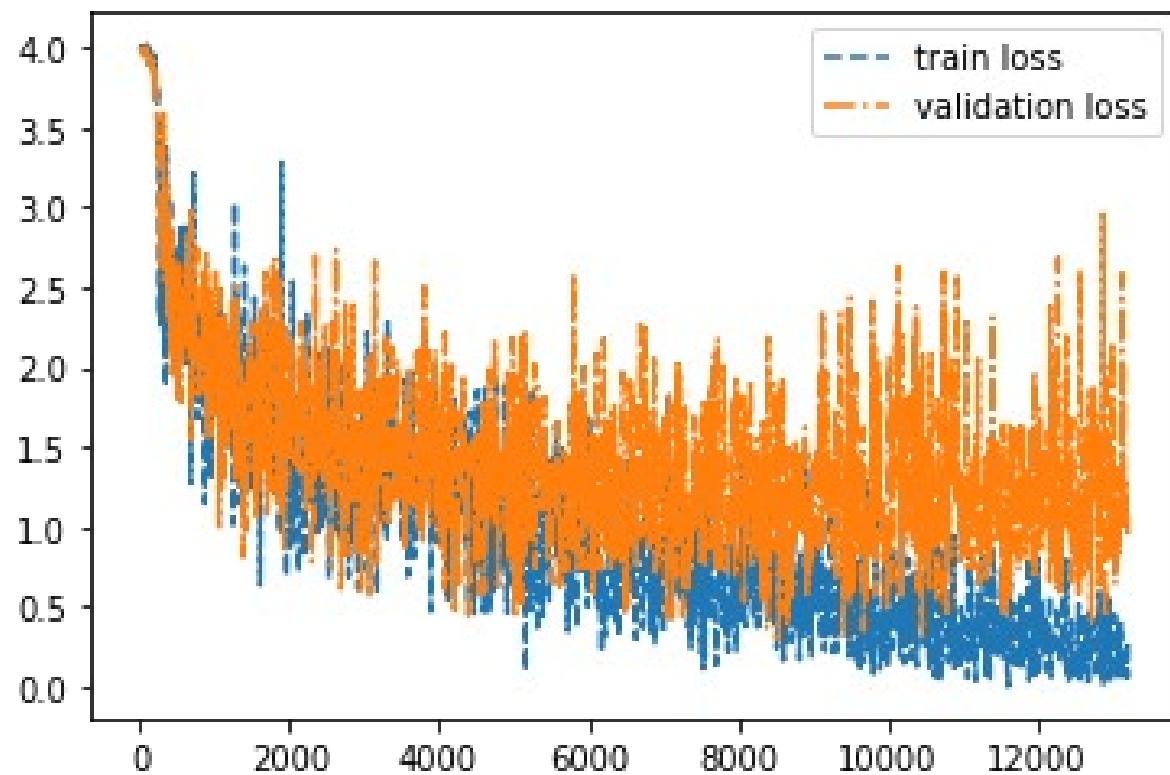


# Eğitilen Ortam

- PyTorch ile geliştirildi.
- Google Colab kullanılarak eğitildi.
- Casia Web Faces
- Labeled Faces in the Wild (LFW)
- FERET Colored

# Ağın Eğitilmesi

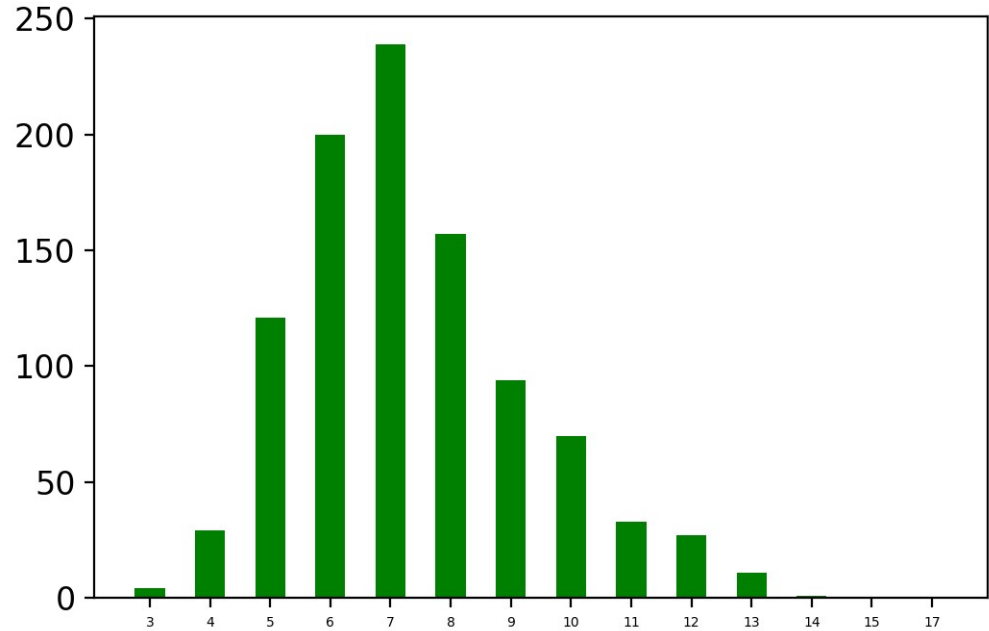
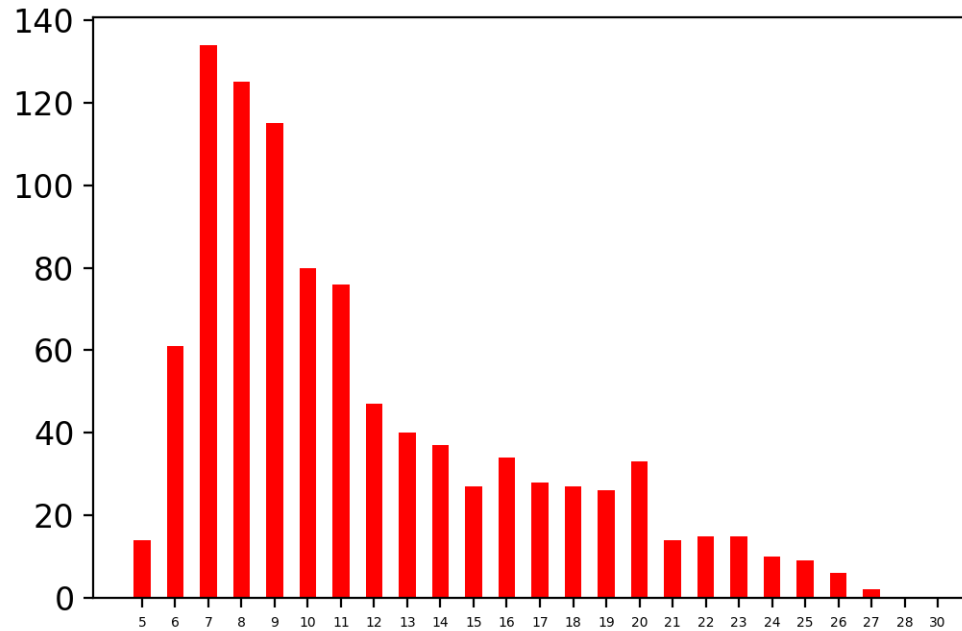
- Casia Web Faces
- 494414 Yüz içeren içinden rastgele seçilmiş 268080 görüntü kullanıldı.
- 89360 Adet ikisi aynı kişiye ait biri ise farklı triplet'ler oluşturuldu ve eğitildi.
- Batch size 40 olarak seçildi. Oluşan 2234 Batch %20 - % 80 olarak eğitim ve doğrulama seti olarak bölündü



# Eğitim Süresine Göre Sonuçlar

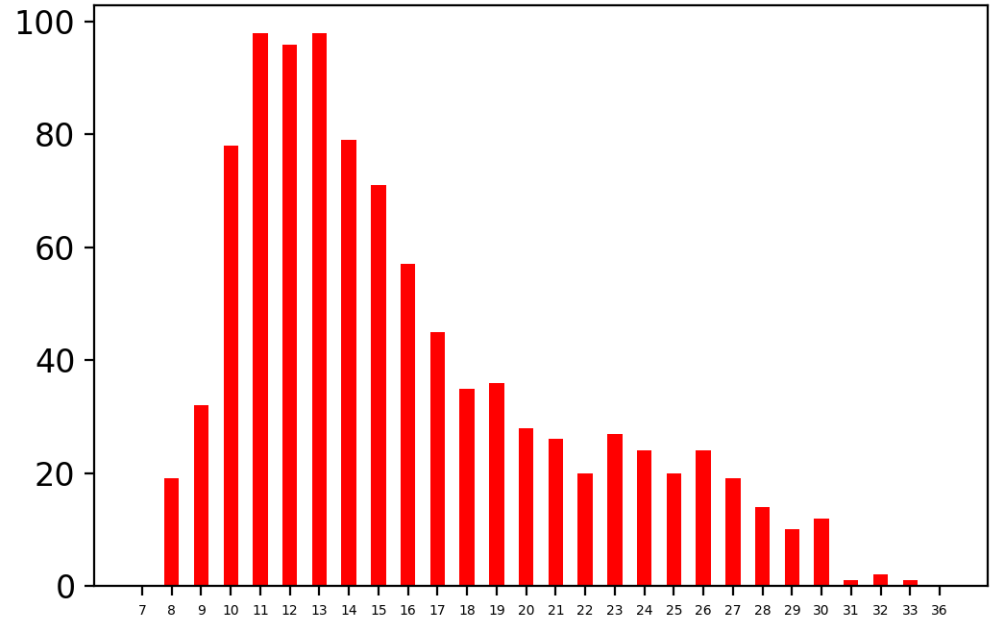
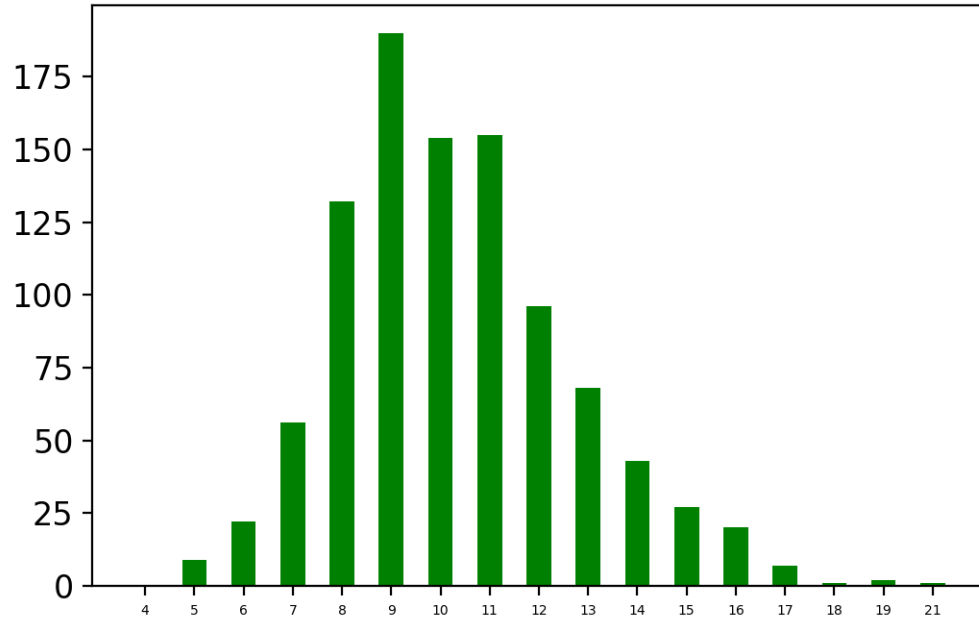
- Casia Web Faces veritabanından rastgelen seçilmiş görseller ile 1 – 11 epoch arası eğitildi.
- Her epoch sonunda eğitilen model kaydedildi.
- Kaydedilen her model LFW veritabanındaki 13233 görselden oluşturulan üçlü setler ile test edildi.

# 1 Epoch



Eşik değeri - doğruluk - tp, tn, fn, fp  
8.589218473434432 0.7095 (766, 653, 234, 347)

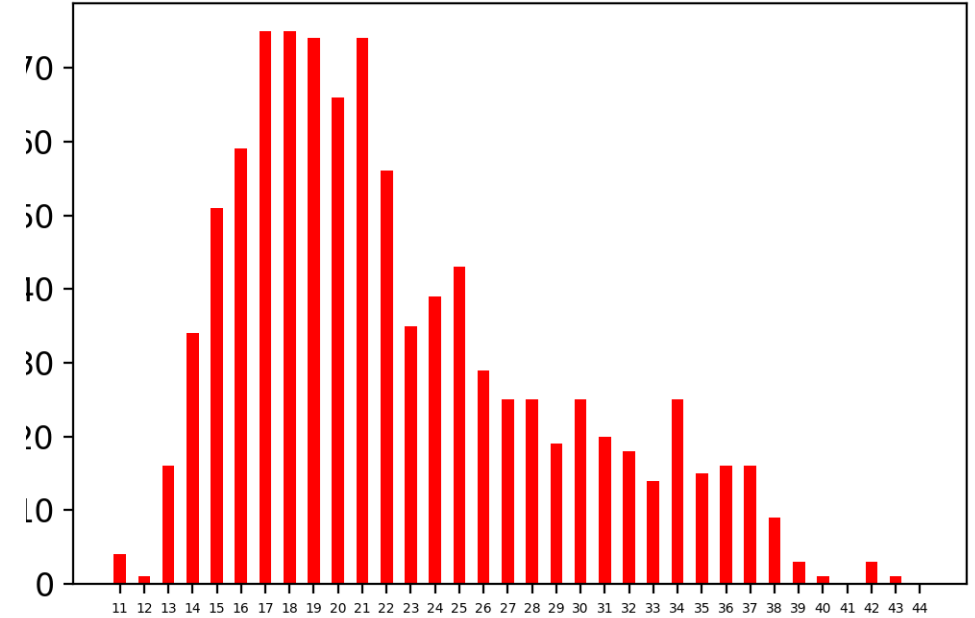
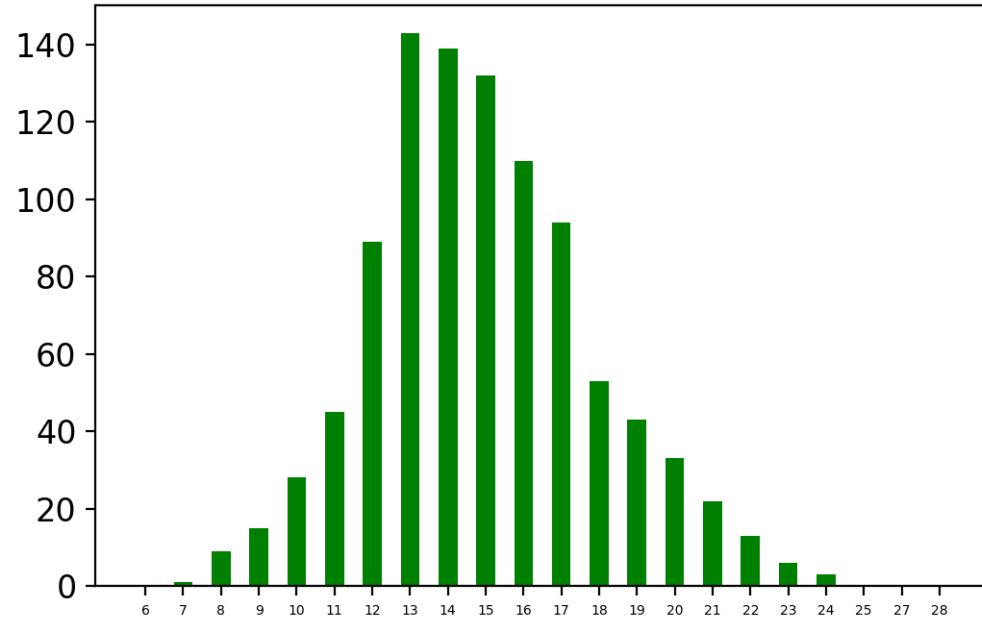
# 2 Epoch



Eşik değeri - doğruluk - tp, tn, fn, fp  
11.94092807769773 0.7525 (776, 729, 224, 271)

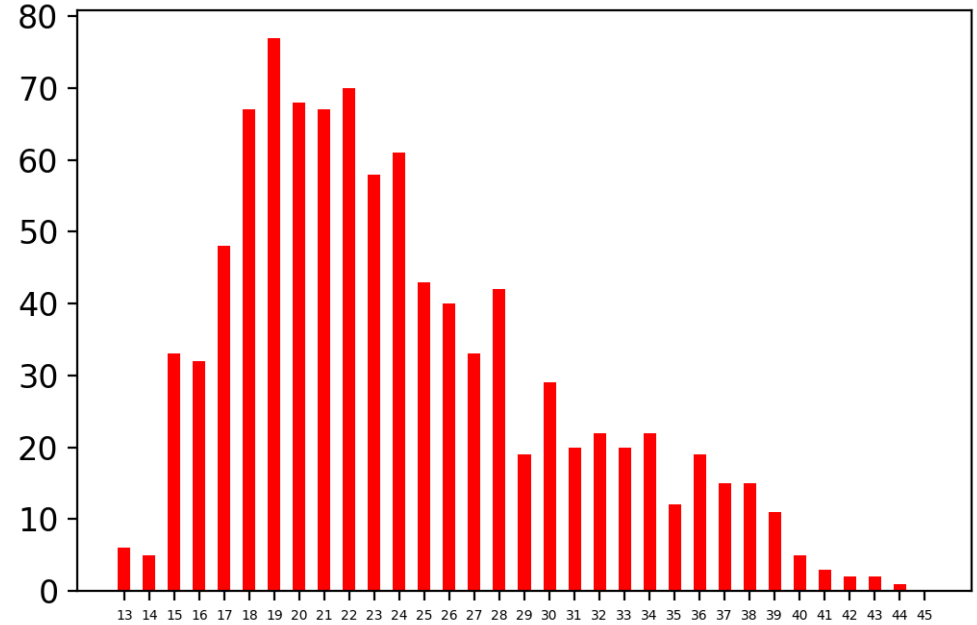
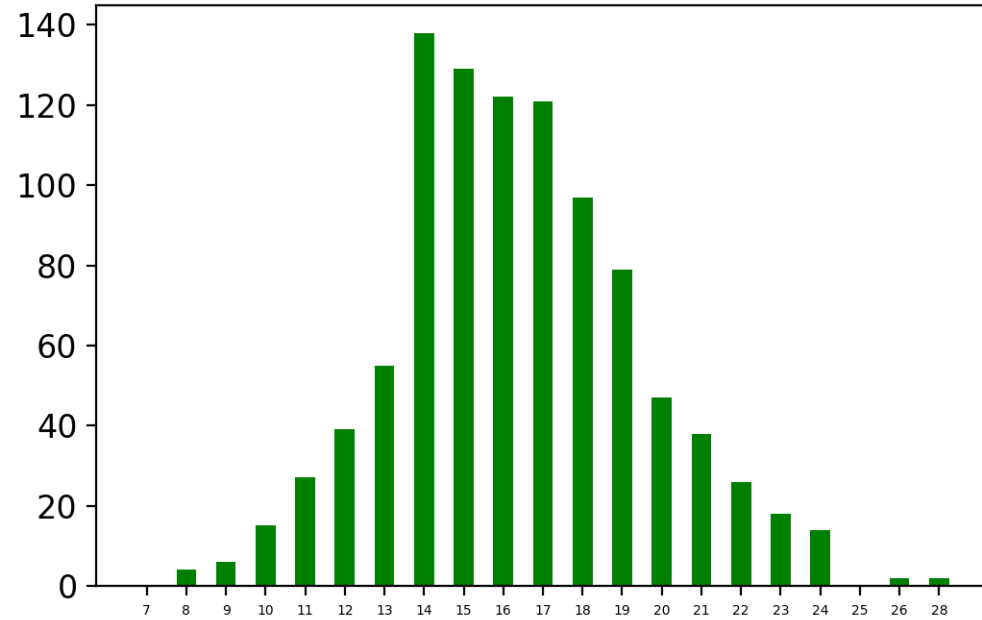


# 4 Epoch



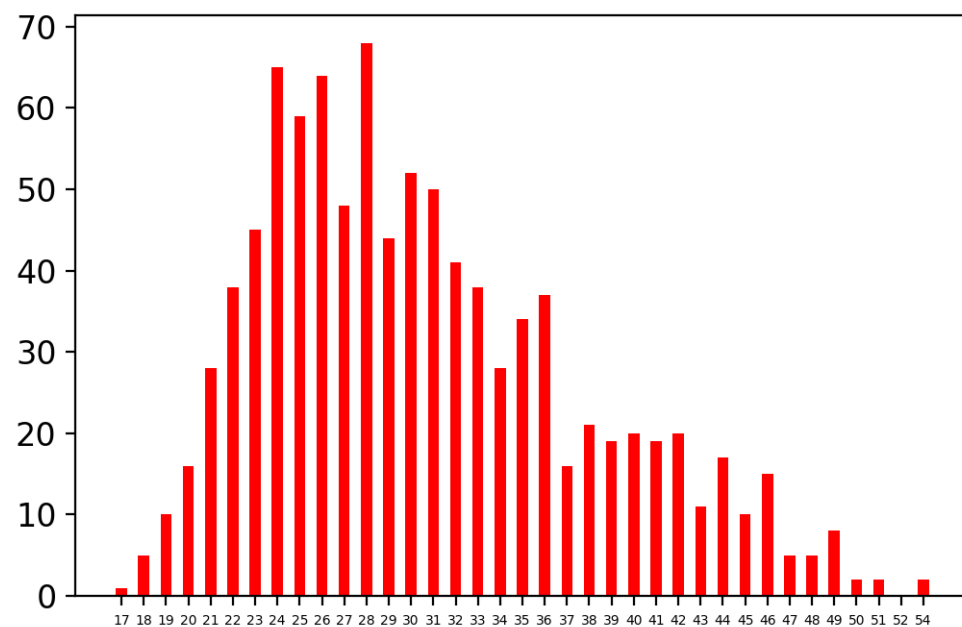
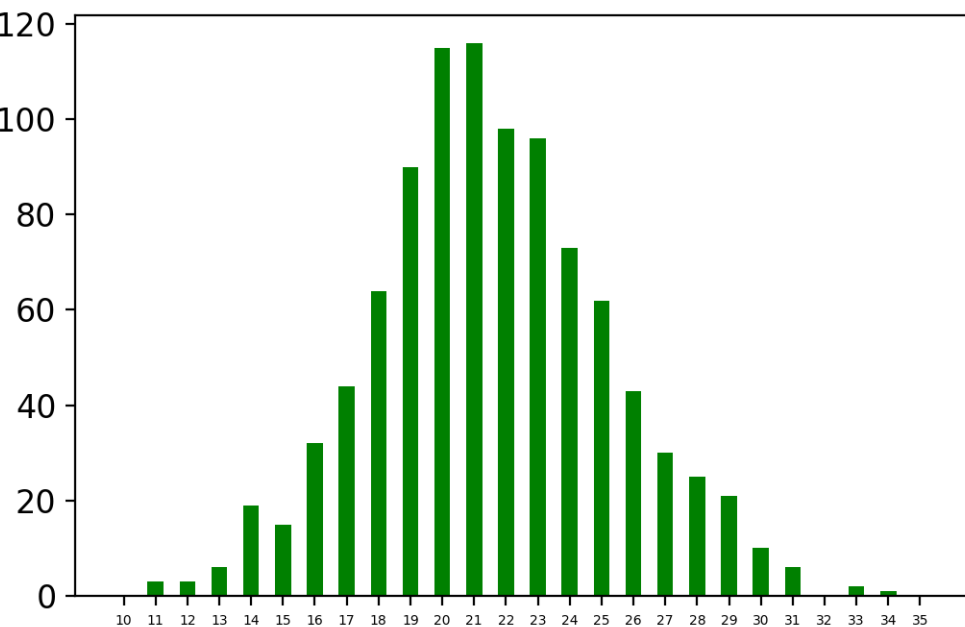
Eşik değeri - doğruluk - tp, tn, fn, fp  
17.076625919342007 0.7885 (788, 789, 212, 211)

# 5 Epoch



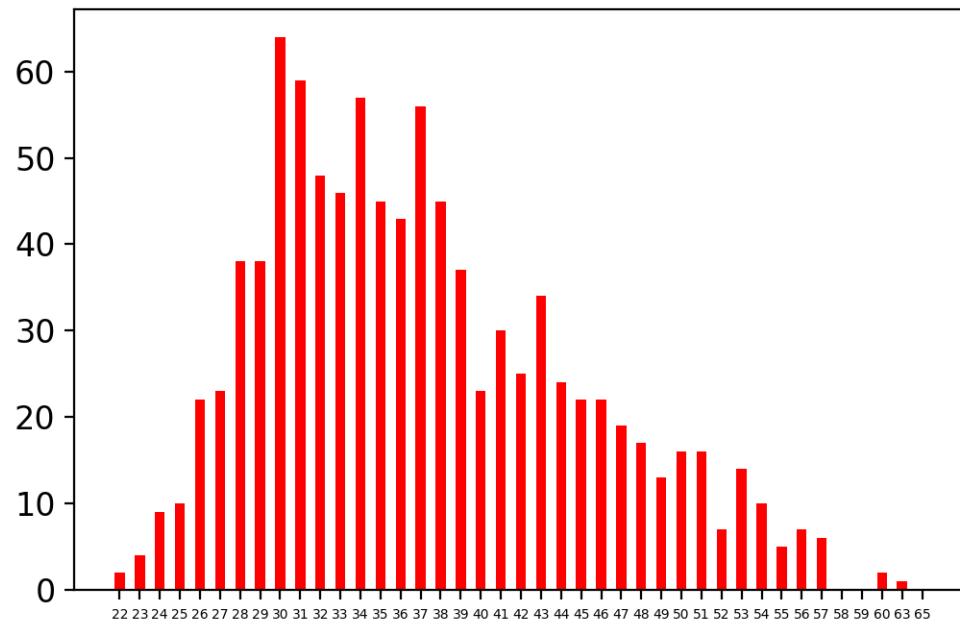
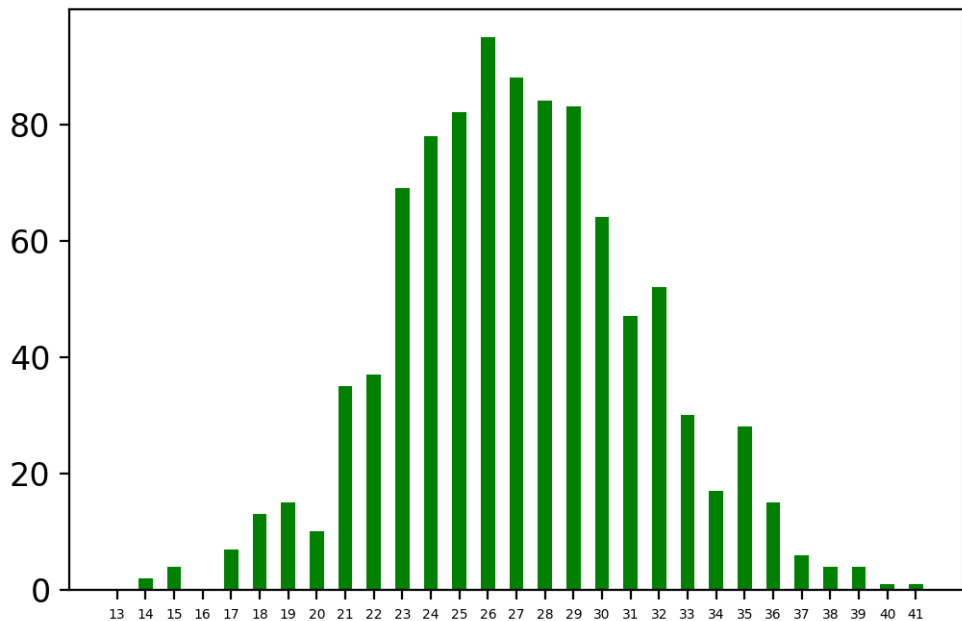
Eşik değeri - doğruluk - tp, tn, fn, fp  
18.928353595733604 0.792 (804, 780, 196, 220)

# 7 Epoch



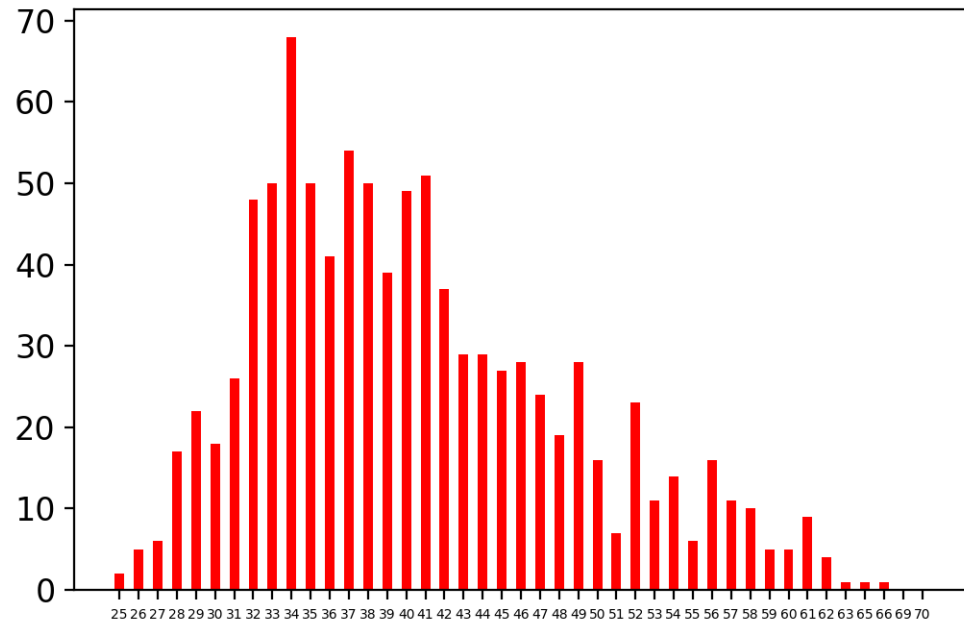
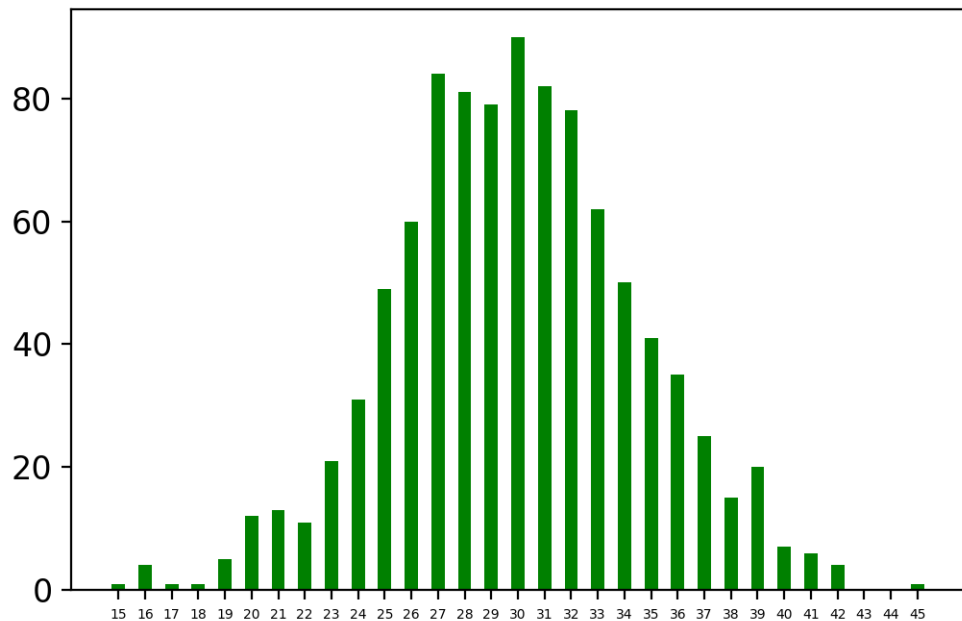
23.98485965728755 0.792 (758, 826, 242, 174)

# 9 Epoch



29.83460254669184 0.7875 (743, 832, 257, 168)

# 10 Epoch



33.38655490875238 0.7905 (780, 801, 220, 199)

# Feret Color Faces Database

- Büyük bir kısmı kontrollü ortamda çekilmiş görüntülerden oluşmakta.
- Sadece ön yüz görselleri ile test edildi.
- 725 kişiye ait 1695 adet yüz görselinden rastgele 1130 çift oluşturuldu.
- %89 doğruluğa ulaşıldı.

**true positive good match 7.60389518737793**



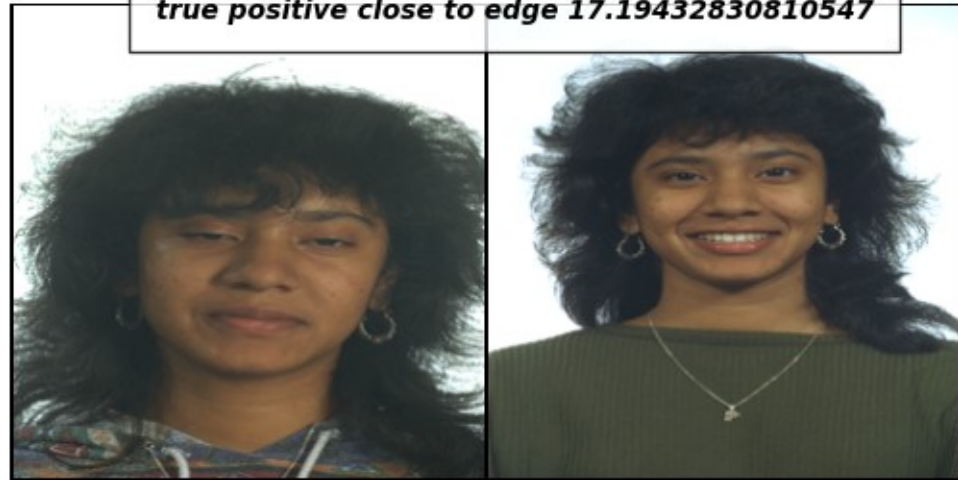
**true positive good match 7.971672058105469**



**true positive good match 6.899694442749023**



**true positive close to edge 17.19432830810547**



**false negative 19.273466110229492**



**false negative 20.282981872558594**



**false negative 27.918893814086914**



**false negative 21.303600311279297**

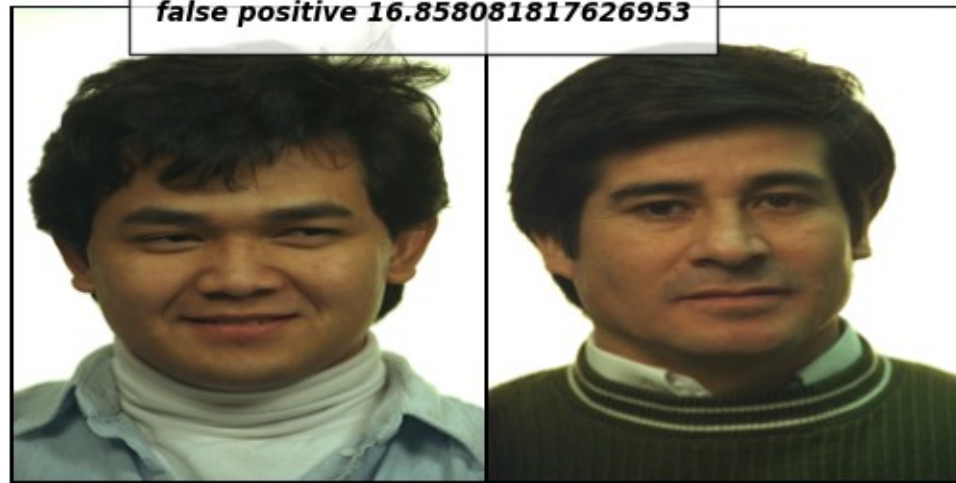




**false positive 10.948031425476074**



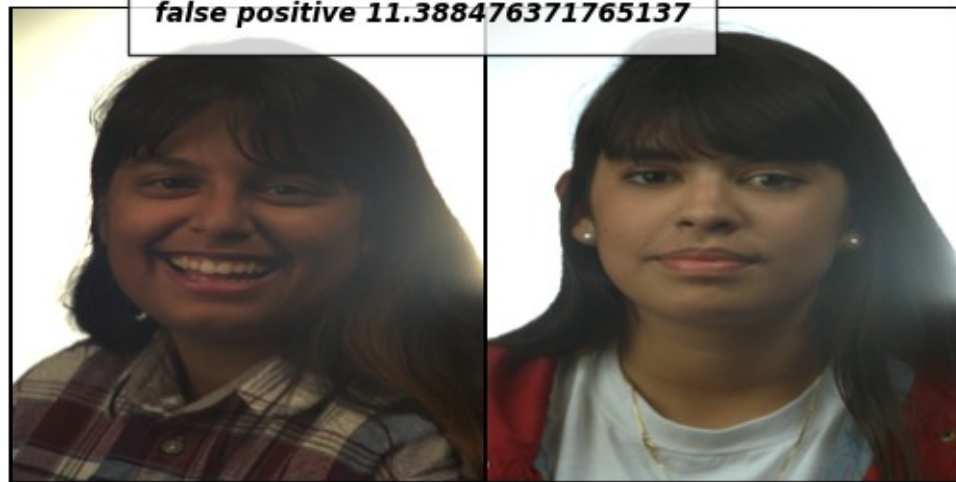
**false positive 16.858081817626953**



**false positive 16.51185417175293**



**false positive 11.388476371765137**



# Daha iyi üçlü görsellerin oluşturulması.

- İyi seçilmemiş üçlü görsellerden ağ için çok öğrenecek bir şey yok.
- Veri setinin bir kısmı ayrıldı. Ayrılan kısım ile eğitim sırasında ağın güncel haliyle “zor” olarak sınıflandırılan üçlü görseller seçildi ve eğitim setine dahil edildi.
- Vakit alan bir süreç.

# Daha iyi üçlü görsellerle eğitilen modelin değerlendirilmesi.

- Casia verisetinden rastgele seçilerek oluşturulan üçlülerle eğitilen modelin ağırlıkları kullanıldı.
- LFW setiyle anlatılan metot kullanıldı.
- Daha iyi sonuç alındı. Aynı görseller ile tüm üçlüler için %92.6 doğruluğa erişildi.

*im 3.9840593338012695*



*im 3.944350242614746*



*false positive 5.803426265716553*



*false positive 6.970326900482178*



# Daha iyi üçlü görsellerle eğitilen modelin değerlendirilmesi.

- Daha “zor” üçlü görseller ile eğitildiğinde daha iyi sonuçlar elde edildi.
- Daha kaliteli veriyle ve farklı metotlarla üçlü görseller elde edilerek daha iyi sonuçlar elde edilebilir.

# Demo

- Eđtilen yüz tanıma, tespiti sınıflarının etrafına yeni sınıflar yazıldı.
- QT kullanılarak basit bir arayüz oluşturuldu.

# Kaynakça

- M. Heidari and K. Fouladi-Ghaleh, "Using Siamese Networks with Transfer Learning for Face Recognition on Small-Samples Datasets," 2020 International Conference on Machine Vision and Image Processing (MVIP), 2020, pp. 1-4, doi: 10.1109/MVIP49855.2020.9116915.
- F. Schroff, D. Kalenichenko and J. Philbin, "FaceNet: A unified embedding for face recognition and clustering," 2015 IEEE Conference on Computer Vision and Pattern Recognition (CVPR), 2015, pp. 815-823, doi: 10.1109/CVPR.2015.7298682.
- K. Vikram and S. Padmavathi, "Facial parts detection using Viola Jones algorithm," 2017 4th International Conference on Advanced Computing and Communication Systems (ICACCS), 2017, pp. 1-4, doi: 10.1109/ICACCS.2017.8014636.
- Hastie, T.; Tibshirani, R. & Friedman, J. (2001), The Elements of Statistical Learning , Springer New York Inc. , New York, NY, USA .
- <https://www.deeplearning.ai/>
- StatQuest with Josh Starmer

Dinlediğiniz İçin Teşekkürler.